KLASIFIKASI PNEUMONIA DENGAN METODE CONVOLUTIONAL NEURAL NETWORK

Ahmad Nabil Dzul Afkar, Aeri Rachmad, Eka Mala Sari Rochman

Sistem Informasi, Universitas Trunojoy Madura Jl. Raya Telang, Perumahan Telang Indah, Telang, Kamal, Kabupaten Bangkalan Nbldzul19@gmail.com

ABSTRAK

Pneumonia adalah infeksi akut pada paru-paru yang disebabkan oleh mikroorganisme seperti virus, bakteri, jamur, dan parasit. Penyakit ini dapat menyerang berbagai usia, terutama balita dan orang tua, namun, balita dan orang tua yang paling sering terdampak. Diagnosis pneumonia masih bergantung pada tenaga medis yang berpengalaman, sehingga diperlukan metode otomatis yang dapat meningkatkan akurasi dan efisiensi dalam deteksi pneumonia. Dengan memanfaatkan pendekatan Deep Learning, khususnya Convulution Neural Network (CNN) yang menjadi pilihan popular dalam klasifikasi gambar dan analisi visual, Penelitian ini bertujuan mengembangkan model CNN berbasis ResNet50 untuk mengklasifikasikan gambar rontgen dalam mendeteksi pneumonia. Model ini dapat memberikan solusi otomatis yang lebih efisian dalam membantu tenaga medis, serta meningkatkan akurasi diagnosis penyakit pneumonia menggunakan ResNet50. Dalam penelitian ini klasifikasi pneumonia menggunakan dataset Chest X-Ray Images yang di ambil dari kaggle dengan format JPG. Dataset berisi citra x-ray dada normal dan pneumonia. Data berjumlah 5.856 gambar yang terbagi kedalam 2 kelas yakni, 1.583 normal dan 4.273 pneumonia. Hasil eksperimen menunjukkan bahwa model ResNet50 dengan optimizer yang digunakan adalah Stochastic Gradient Descent Momentum (SGD-M) dengan learning rate 0.1 menghasilkan penelitihan data train di dapat akurasi sebesar 95.43%, sedangkan tahap pelatihan data test mendapatkan akurasi sebesar 92.25% tingkat akurasi sudah cukup layak.

Kata kunci: pneumonis, klasifikasi, convolutional neural network, resnet50

1. PENDAHULUAN

Pneumonia adalah infeksi atau peradangan akut pada jaringan paru-paru yang disebabkan oleh berbagai mikrooganisme, termasuk virus, jamur, bakteri, parasite, jajanan yang mengandung bahan kimia, atau kerusakan pada paru-paru[1].

Pneumonia dapat menyerang berbagai usia, sperti anak-anak, remaja, dewasa, dan orang tua, namun, balita dan orang tua yang paling sering terdampak[2].

Angka kasus Pneumonia lebih sering di temukan di negara berkembang. Berdasarkan RISKESDES tahun 2018, prevalensi pneunomonia berdasarkan diagnosis tenaga keseharan yaitu sekitar 2%, sedangkan tahun 2013 adalah 1,8%. Berdasarkan data kemenkes 2014, jumlah penderita pneumonia di Indonesia tahun 2013 sekitar 23%-27% dengan kematian akibat pneumonia di indonesia sebesar 1,19%[3].

Dalam hal ini diagnosis pneumonia melalui citra rontgen masih bergantung pada tenaga medis yang berpengalaman, sehingga diperlukan metode otomatis yang dapat meningkatkan akurasi dan efisiensi dalam deteksi pneumonia.

Pada era digital saat ini menawarkan kemajuan Teknologi Informasi (TI) yang pesat, terutama dalam bidang computer vision. Potensi ini dapat dimanfaatkan untuk pendeteksian otomatis objek tertentu, seperti penyakit pneumonia [4].

Pendekatan yang banyak digunakan dalam bidang computer saat ini menggunakan *Deep learning*, khususnya *Convolution Neural Network* (CNN) yang

menjadi pilihan popular dalam klasifikasi gambar dan analisi visual[5].

Metode Convolution Neural Netwok merupakan algoritma deep learning, yang dirancang untuk memproses data citra dan secara otomatis mengekstraksi fitur spasial tanpa perlu intervensi manual dalam pemrograman fitur[6].

CNN telah diterapkan dalam berbagai bidang, seperti pengenalan wajah, deteksi objek, dan klasifikasi warna, berkat kemampuannya yang kuat dalam menganalisis citra[7].

Untuk penelitian terkait klasifikasi pneumonia telah banyak dilakukan dengan menggunakan berbagai metode yang beragam. Penelitian ini dilakukan Klasifikasi Pneumonia dengan Deep Learning Faster Region Convolutional Neural Network Arsitektur VGG16 Dari pelatihan yang dilakukan arsitektur VGG16 mempunyai nilai akurasi sebesar 70,3% dengan loss sebesar 2,712[8].

Sedangkan penelitian lainya yang dilakukan menggunakan metode *Support Vector Machine* (SVM) hasil menunjukkan bahwa akurasi terbaik yang dapat di capai sebesar 62,66% [9].

Berdasarkan penelitian yang sudah ada banyak peran penelitian yang memakai metode *Convolutional Neural Network* (CNN) untuk pengenalan objek citra atau gambar, terutama pada penyakit *pneumonia* penelitian bertujuan untuk menerapkan teknolgi citra digital dengan metode *Convolution Neural Network* untuk mengklasifikasikan gambar paru-paru dalam mendeteksi pneumonia. CNN sendiri memiliki sendiri memili banyak arsitektur yang telah dibuat oleh

peneliti-peneliti terdahulu. Pada penelitian ini akan menggunakan model arsitektur ResNet50 dalam mengerjakan klasifikasi *pneumonia*, dengan cara mengambil data dari citra rognten paru-paru yang akan di proses dengan model arsitektur ResNet50 sehingga mendapatkan hasil yang dapat membedakan paru-paru penderita *pneumonia* dan paru-paru normal.

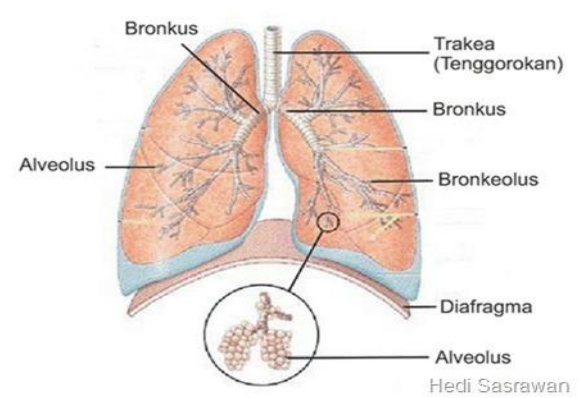
2. TINJAUAN PUSTAKA

2.1. Anatomi paru-paru

Salah satu organ penting tubuh manusia adalah paru-paru. Tepatnya adalah organ pernapasan (respirasi) yang terhubung dengan sistem pernapasan dan sirkulasi darah. Salah satu fungsi utama organ ini adalah menukar oksigen dari udara dengan karbon dioksida dari darah, jika fungsi organ ini terganggu, maka akan berdampak pada kesehatan manusia secara keseluruhan[10].

Paru-paru terdiri dari paru-paru kanan dan paruparu kiri, namun masing-masing memiliki fungsi yang berbeda. Misalnya paru-paru kiri orang dewasa secara umum memiliki berat 325-550 gram, sedangkan bagian kanan memiliki berat 375-600 gram. Normalnya paru-paru terbagi menjadi beberapa bagian yaitu : pleura, bronkus, bronkiolus, dan alveoli[11].

Seperti organ tubuh lainnya banyak penyakit juga dapat menyerang organ paru-paru, kondisi tersebut dapat menimbulkan gejala seperti sesak nafas, dan batuk tidak kunjung berhenti. Gangguan pada organ paru-paru biasanya bersifat akut (sementara) atau kronis (jangka panjang). Beberapa penyakit yang dapat menyerang organ paru-paru dan system pernapasan, antara lain : bronkitis, pneumonia, tuberculosis, asbetoris, asma, bronkiektasis, penyakit paru obstruktif kronis (PPOK), Covid-19, croup, emboli paru, fibrosis kistik, dan lain-lain.[12]

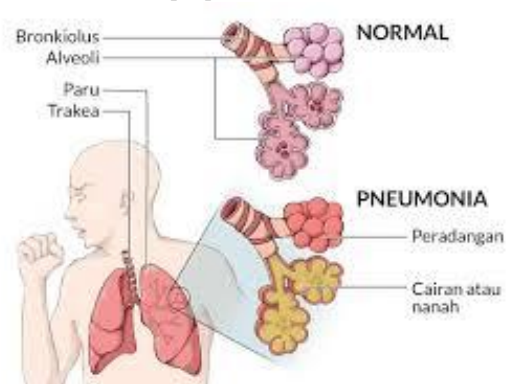


Gambar 1. Anatomi Paru-Paru

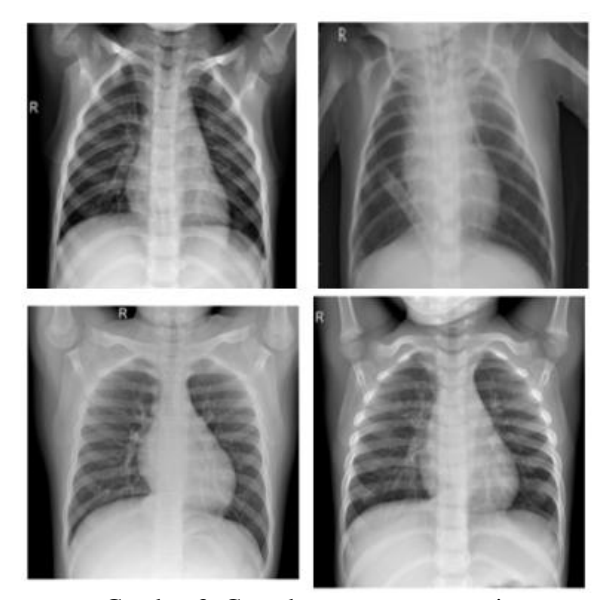
2.2. Pneumonia

Pneumonia adalah kondisi inflamasi yang terjadi saat paru-paru mengalami infeksi kantung udara. Untuk kondisi infeksi itu sendiri dapat menyebabkan peradangan pada kantung udara yang dimanakan albeoli sehingga dapat berakibat kantung udara dipenuhi cairan atau nanah sehingga mengakibatkan sulit untuk bernafas. Gangguan ini dapat menyebabkan

batuk berdahak atau bernanah, menggigil, demam, dan kesulitan bernafas.[13]



Gambar 2. Pneumonia



Gambar 3. Contoh rontgen pneumonia

2.3. Google Colaboratory

Google Colaboratory atau dikenal juga sebagai google colab adalah *tools* penelitian gratis dan berbasis *cloud* yang disediakan oleh google[14].

Bagi peneliti yang ingin menggunakan *machine* learning atau deep learning untuk mempelajari dan mengilah data, google colab sangat membantu bagi peneliti yang memiliki keterbatasan dengan perangkat yang mereka gunakan. Pengguna akan memiliki akses ke cloud computer dengan google cloud, peneliti juga diberikan akses untuk menggunakan GPU secara gratis yang memungkinkan program berjalan selama 12 jam[15].

Google colab dibuat dengan menggunakan lingkungan jupyter notebook, yang hampir mirip dengan jupyter notebook yang menggunakan Bahasa pemrograman python, google colab juga mendukung hampir semua library umum untuk *machine learning*. Google colab dapat di integrasikan dengan google drive, yang memungkinkan pengguna untuk mengakses atau menyimpan data ke dalam google drive.[16]

2.4. Deep Learning

Deep Learning merupakan salah satu algoritma dalam machine learning, yang merupakan cabang dari artificial intelegence (AI) atau kecerdasan buatan. Di era modern, AI memainkan peran yang signifikan dalam berbagai aspek kehidupan. Algoritma deep learning memanfaatkan berbagai jenis jaringan saraf untuk menyelesaikan berbagai tugas, di mana masingmasing algoritma memiliki mekanisme kerja yang berbeda[17].

Deep learning sendiri merujuk pada jaringan saraf lebih dari dua lapisan. Saat ini, para peneliti terus mengembangkan model yang lebih canggih dengan memperbarui konsep dan gagasan yang telah ada sebelumnya, seperti jaringan saraf konvolusional (CNN), jaringan kapsul (CapsNet), hingga pembelajaran penguatan berbasis jaringan dalam (DRL). Berbagai model Deep Learning modern ini telah menunjukkan efektivitas luar biasa dalam menganalisis kumpulan data berskala besar.[13]

2.5. Convulition Neural Network

Convulution Neural Network adalah algoritma turunan dari deap learning. CNN terdiri dari berbagai lapisan representasi yang memungkinkan algoritma ini secara otomatis mempelajari karakteristik data melalui transformasi nonlinier yang diestimasi dengan fungsi nonlinier. Struktur CNN mencakup tahapan ekstraksi fitur, yang melibatkan convolutional layer diikuti oleh pooling layer, serta lapisan klasifikasi softmax[18].

Convolutional layer berfungsi untuk mengekstrasi fitur dari citra, sementara pooling layer bertugas mengurangi dimensi data dan mempercepat proses komputasi, dengan arsitektur yang dirancang demikian, CNN mampu melakukan regulasi secara otomatis. Fitur-fitur yang telah diekstraksi kemudian di proses lebih lanjur pada lapisan softmax untuk melakukan klasifikasi.[19].

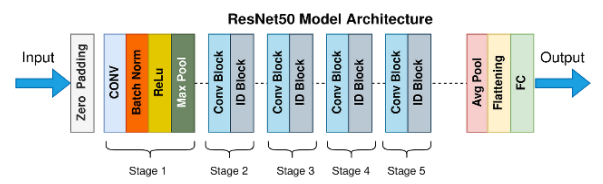
2.6. ResNet

Residual Network (ResNet) merupakan sebuah arsitektur model yang dikembangkan oleh He et al. pada tahun 2016. Model ini dirancang untuk mengatasi permasalahan dalam pelatihan deep learning, khususnya terkait waktu pelatihan yang lama serta keterbatasan jumlah lapisan yang dapat digunakan. Salah satu karakteristik utama yang membedakan ResNet dari arsitektur lainnya adalah penerapan skip connection atau shortcut, yang memungkinkan informasi melewati beberapa lapisan tanpa mengalami degradasi. Keunggulan utama ResNet dibandingkan dengan arsitektur lainnya terletak kemampuannya mempertahankan performa meskipun jumlah lapisan yang digunakan semakin dalam. Model ResNet tersedia dalam beberapa varian yang diklasifikasikan berdasarkan jumlah lapisan, yaitu 18, 34, 50, 101, dan 152 lapisan.[20]

2.7. ResNet50 Model Arsitecture

ResNet50 adalah jaringan saraf konvolusional 50-layer (48 lapisan konvolusional, satu lapisan MaxPoool, dan satu lapisan kolam rata-rata)[21].

Jaringan saraf residual adalah jenis jaringan saraf tiruan yang membentuk jaringan dengan menumpuk blok residu.



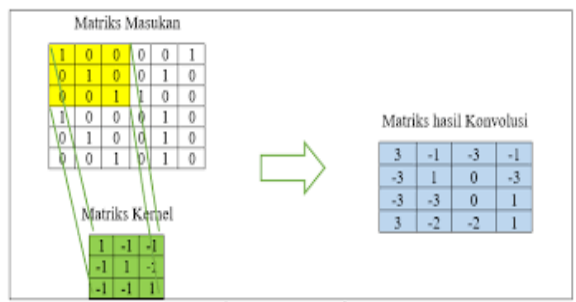
Gambar 4. ResNet50 Model Architecture

Pada stage 1, lapisan convolutional dengan ukuran filter 7 x 7 mengkonvolusi gambar, yang menghasilkan map fitur yang kemudian dinormalisasi oleh normalisasi batch. Nilai-nilai output dari lapisan sebelumnya yang sangat berbeda diubah menjadi skala yang sama dengan normalisasi. Ini dapat mempercepat proses pembelajaran karena beban komputasi Setelah normalisasi. lapis aktivasi berkurang. menerima hasilnya. Di lapis aktivasi ini, fungsi aktivasi unit linier yang directificated (ReLU) digunakan untuk membuat hasil ekstraksi fitur menjadi non-linier. Sebelum melanjutkan ke stage 2, lapisan maxpooling mengurangi nilai keluaran fungsi aktivasi.

Dari stage 2 hingga stage 5, kombinasi susunan antara blok convolutional dan blok identitas melakukan proses ekstraksi fitur. Pada blok-blok ini, gambar diperbesar dan berukuran lebih besar. Hal ini disebabkan oleh tipe arsitektur blok, yang terdiri dari tiga tahapan konvolusi dengan ukuran filter $1\times 1, 3\times 3$, dan 1×1 , yang dikenal sebagai "bottleneck" dan dimaksudkan untuk mengurangi jumlah waktu yang diperlukan untuk proses komputasi. Setelah proses ekstraksi fitur selesai, peta fitur diproses ke dalam lapisan yang benar-benar terhubung untuk melakukan proses prediksi dengan bantuan fungsi aktivasi sigmoid. Saat melakukan pelatihan, total 23,589,761 parameter dibuat.[22].

2.8. Convolutional Layer

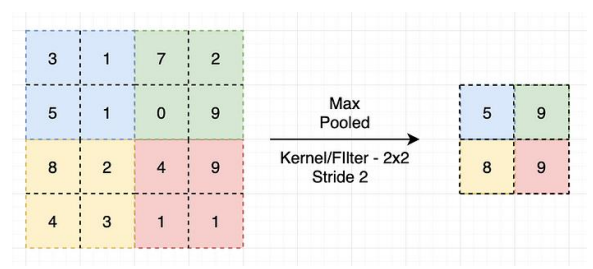
Lapisan konvolusi (convolutional layer) terdiri dari neuron-neuron yang disusun sedemikian rupa sehingga membentuk suatu filter dengan ukuran tertentu dalam bentuk panjang dan tinggi (piksel). Proses konvolusi dilakukan dengan menggunakan kernel dan stride, di mana proses ini melibatkan kombinasi antara dua matriks berbeda untuk menghasilkan matriks baru. Dalam pengolahan citra, konvolusi mengacu pada penerapan sebuah kernel (ditandai dengan kotak kuning) ke seluruh area citra pada setiap posisi offset yang memungkinkan, sebagaimana diilustrasikan pada Gambar 6 berikut.[23].



Gambar 5. Operasi konvolusi

2.9. MaxPooling Layer

MaxPooling digunakan untuk mengurangi dimensi fitur sambal mempertahankan informasi penting. Proses ini membantu mengurangi kompleksitas komputasi dan risiko overfitting dalam model[24].



Gambar 6. pooling layer

Lapisan *classification* terdapat beberapa lapisan antara lain sebagai berikut :

a. Flatten

Flatten adalah proses mengubah output feature learning dari 2 dimensi menjadi 1 dimensi[24].

b. Dropout

Dropout adalah proses menghilangkan neuron selama pelatihan untuk mencegan overfitting dan meningkatkan kemampuan generalisasi model[24].

c. Fully Connected Layer

Pada *Fully Coneccted layer* menghubungkan jaringan saraf neuron menjadi 1 dimensi dari hasil *feature learning* yang telah di *flattening* ke bentuk vektor[24].

d. Softmax

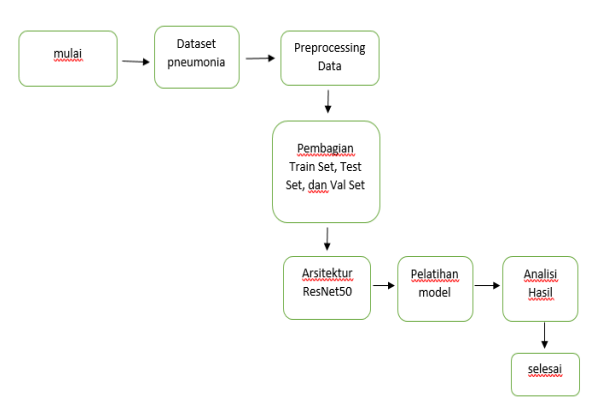
Softmax adalah fungsi aktivasi yang mengubah output jaringan saraf menjadi distribusi probabilitas, dimana setiap nilai output dinormalisasi agar berada dalam rentang 0 hingga 1[24].

2.10. Evaluasi Model

Setelah latihan model selesai, evaluasi dilakukan untuk mengetahui seberapa baik performanya. Proses evaluasi ini menggunakan data uji yang telah disiapkan sebelumnya. Tujuan dari evaluasi ini adalah untuk mengevaluasi seberapa baik model dapat mengidentifikasi gambar di luar dataset pelatihan. Confusion matrix adalah teknik evaluasi yang membantu menganalisis kinerja model[25].

3. METODE PENELITIAN

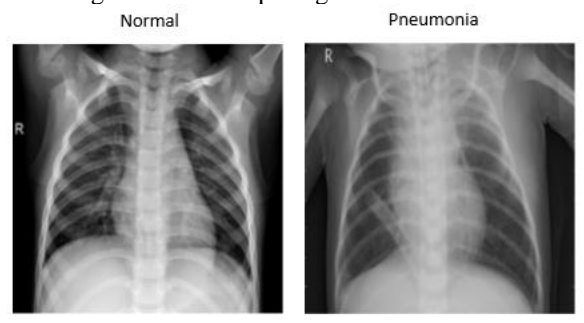
Klasifikasi yang dilakukan terhadap penyakit pneumonia menggunakan Convulitional Neural Network terdiri dari beberapa tahap. Berikut merupakan blok diagram alur penelitian yang di tunjukkan pada Gambar dibawah ini.



Gambar 7. Diagram Alur

3.1. Dataset

Dataset yang digunakan adalah dataset Chest X-Ray Images by paul yang di ambil dari kaggle (https://www.kaggle.com/datasets/paultimothymooney/chest-xray-pneumonia/data) dengan format JPG. Dataset berisi citra x-ray dada normal dan pneumonia. Data berjumlah 5.856 gambar yang terbagi kedalam 2 kelas yakni, 1.583 normal dan 4.273 pneumonia. Contoh gambar dataset pada gambar 8.



Gambar 8. Jenis Gambar Dalam Dataset, kiri normal dan kanan pneumonia

Tabel 1. Jumlah Dataset

Kelas	Training	Test	Validation	Total
Normal	1.341	234	8	1.583
Pneumonia	3.875	390	8	4.273
Total	5.216	624	16	5.856

3.2. Preprocessing

Pada bagian ini, diterapkan transformasi pada data. Ini termasuk mengubah ukuran gambar menjadi 224 x 224 pixel dengan menggunakan Resize dan menromalisasi nilai pixel agar sesuai dengan distribusi model yang diatur seperti ResNet dengan menggunakan Normalize. Dengan menggunakan ImageFolder, dataset kemudian diatur. Ini secara otomatis mengelompokkan data berdasarkan struktur

folder, dengan kelas yang diwakili oleh setiap subfolder.

3.3. Pembagian Trainset dan Testset

Sebelum *dataset* digunakan dalam tahap selanjutnya, *dataset* dilakukan pembagian ulang karena perbandingan antara jumlah data tiap folder terlalu jauh atau tidak seimbang, dengan cara mengambil 1.600 data *pneumonia* secara acak dan mengambil semua data normal. Hasilnya dataset dibagi menjadi tiga bagian, yaitu trainset, testset, dan valset dengan pembagian 72.2% untuk pelatihan, 15.0% untuk uji dan 12.8% untuk validasi.

Tabel 2. Pembagian Dataset

Total	Data Latih	Data Uii	Data Validasi	
Gambar	(72.25%)	(15.2%)	(12.76%)	
3.183	2.299	478	406	

3.4. Arsitektur ResNet50

Pada penelitian ini, model arsitektur yang digunakan adalah ResNet-50. Fungsi loss yang diterapkan adalah *CrossEntropyLoss*, yang umum digunakan dalam tugas klasifikasi. Dan *optimizer* yang digunakan adalah *Stochastic Gradient Descent Momentum* (SGD-M) dengan *learning rate* 0.1 untuk memperbarui bobot selama pelatihan.

3.5. Pelatihan Model

Dalam pelatihan model pada penelitian ini, setiap epoch terdiri dari beberapa langkah. Batch data diambil oleh setiap epoch. Kemudian, forward pass dilakukan untuk menghasilkan prediksi model, menghitung kehilangan, dan backward pass dilakukan untuk menghitung gradien dan memperbarui bobot model menggunakan optimizer. Selanjutnya train loss dan validation accuracy dihitung untuk seluruh dataset. Ini dilakukan dengan menghitung seberapa banyak prediksi model yang benar dibandingkan dengan label yang sebenarnya. Seiring berjalannya waktu, tujuan pelatihan ini adalah mengoptimalkan model untuk mengurangi kehilangan dan meningkatkan akurasi.

3.6. Analisis Hasil

Tujuan analisis hasil adalah untuk mengevaluasi model pada mode pengujian, yang menunjukkan prediksi kelas dan matrix confusion untuk masingmasing kelas dalam dataset.

4. HASIL DAN PEMBAHASAN

Setelah semua rangkaian yang dilakukan oleh peneliti melalui *training* data, peneliti memulai proses hasil *test* yang akan menghasilkan grafik validasi akurasi dan *validation loss* dengan *epoch*. Selanjutnya peneliti melakukan *test* data sehingga peneliti dapat *test loss dan* akurasi. Setelah itu peneliti melakukan random *simple testing* modedl *kaggle* dan *testing model aplikasi dari* dataset, kesimpulannya adalah

bahwa dari semua rangkaian yang sudah di jalani dapat memperoleh hasil prediksi yang benar dari data yang sesuai dengan hasil prediksi pada sampel acak.

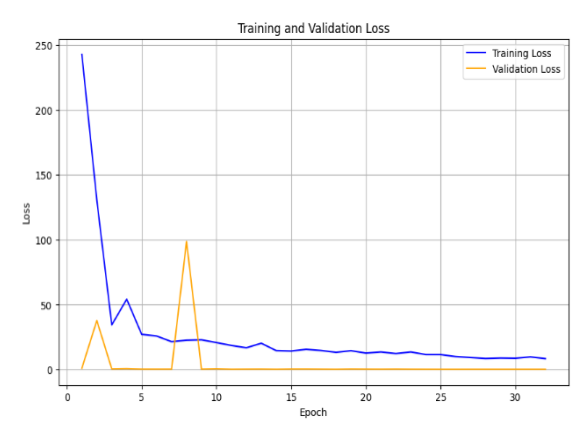
Pengujian dilakukan menggunakan gambar paruparu x-ray, dengan menguji 3.183 gambar. Dengan mengukur kinerja arsitektur ResNet50 menggunakan confusion matrix yang akan mengukur kinerja sistem secara keseluruhan seperci accuracy, prescision, recall, dan f-measure.

Pada tabel 3 ditampilkan training loss, validation loss, dan validation accuracy yang dihasilkan pada training yang memperlihatkan proses epoch. Dari 100 epoch yang di jalankan berhenti pada 32 epoch di karenakan menggunakan early stopping dengan Syarat jika validasi loss tidak turun dalam 7 epoch maka running akan berhenti.

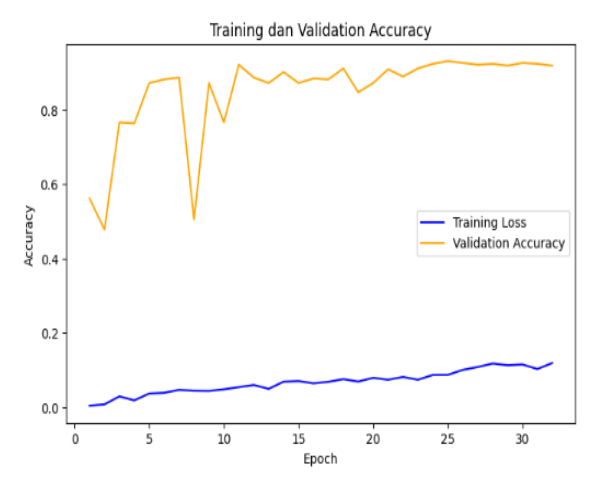
Dari tabel 3 menunjukkan terjadi penurunan pada *loss* setiap data *training* dengan data *validation* juga. Nilai *epoch* 1 ketika saat di *training* memiliki nilai *training loss* 242.6584 dan *validation loss* 1.0434. peningkatan *accuracy* mengalami peningkatan pada *epoch* 25.

Tabel 3. Hasil Training

No.	Training	Validation	Validation Accuracy	
NO.	Loss	Loss		
1	242.6584	1.0434	0.5616	
2	130.6407	37.7274	0.4778	
3	34.3741	0.4996	0.7660	
4	54.2021	0.6841	0.7635	
5	27.1284	0.3126	0.8719	
6	25.7988	0.3029	0.8818	
7	21.4543	0.3059	0.8867	
8	22.5970	98.5805	0.5049	
9	22.8922	0.3088	0.8719	
10	20.7531	0.5647	0.7660	
11	18.5405	0.2212	0.9212	
12	16.7463	0.2972	0.8867	
13	20.2454	0.3457	0.8719	
14	14.5473	0.2100	0.9015	
15	14.2231	0.3811	0.8719	
16	15.5798	0.3807	0.8842	
17	14.6352	0.2895	0.8818	
18	13.2552	0.1979	0.9113	
19	14.4891	0.3822	0.8473	
20	12.6681	0.2992	0.8719	
21	13.5371	0.2573	0.9089	
22	12.2895	0.3322	0.8892	
23	13.5381	0.2405	0.9113	
24	11.5182	0.2110	0.9236	
25	11.5036	0.1822	0.9310	
26	9.9605	0.1850	0.9261	
27	9.2515	0.1954	0.9212	
28	8.5138	0.1982	0.9236	
29	8.8579	0.1934	0.9187	
30	8.7014	0.1980	0.9261	
31	9.7283	0.1959	0.9236	
32	8.4111	0.1948	0.9187	



Gambar 9. Grafik Training dan Validation Loss



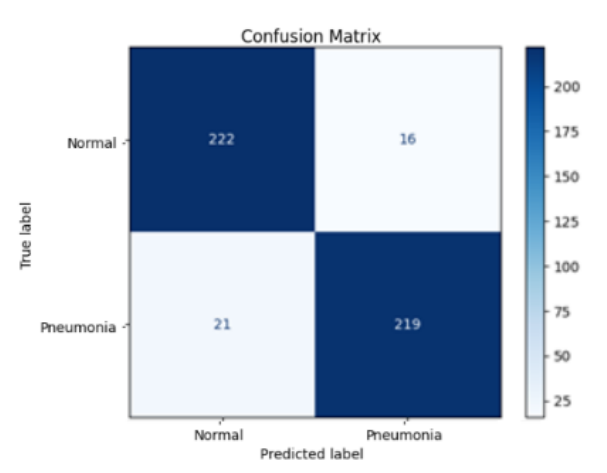
Gambar 10. Grafik Training Dan Validation Accuracy

Di lihat pada gambar 9 dan 10 menunjukkan kalau akurasi meningkan dan *loss* menurun, *loss* adalah fungsi untuk mengukur seberapa baik sebuah prediksi dengan mengukur jarak hasil output prediksi dengan nilai target. Pada hasil pelatihan data uji didapatkan akurasi sebesar 95.43%, sedangkan tahap pelatihan data test mendapatkan akurasi sebesar 92.25%.

	precision	recall	f1-score	support
0	0.91	0.93	0.92	238
1	0.93	0.91	0.92	240
accuracy			0.92	478
macro avg	0.92	0.92	0.92	478
weighted avg	0.92	0.92	0.92	478

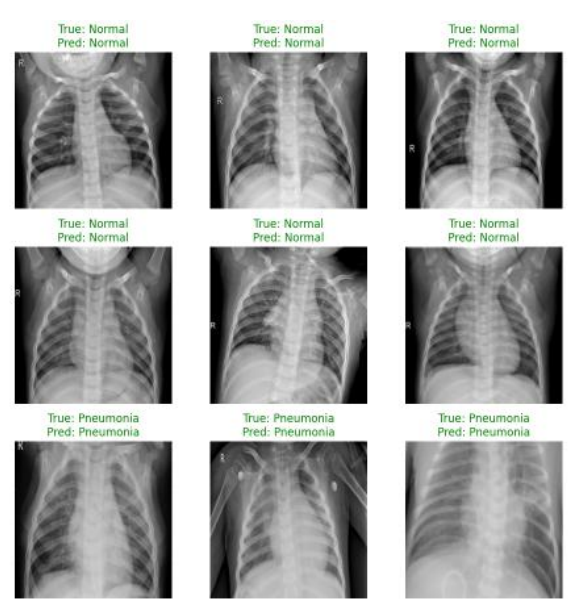
Gambar 11. Classification

Pada gambar 11 evaluasi model yang menunjukkan nilai presisi, *recall, F1-score, support*, akurasi untuk tiap kelasnya. Yang terbagi menjadi 2 kelas yaitu normal dianotasikan = 0 dengan nilai presisi 0.91 (91%), *recall* 0.93 (93%), *F1-score* 0.92 (92%); *Pneumonia* = 1 dengan nilai presisi 0.93 (93%), *recall* 0.91 (91%), *F1-score* 0.92 (92%) dan rata-rata akurasi untuk setiap kelasnya 0.92 (92%).



Gambar 12. Confusion Matrix

Gambar 12 berikut merupakan plot confusion matrix dan dapat disimpulkan bahwa terdapat 222 prediksi benar Normal, dan 219 prediksi benar Pneumonia. Hasil yang diperoleh pada pengklasifikasian jenis beras menggunakan model ResNet50 dapat dilihat pada gambar berikut ini berdasarkan data yang telah di uji :



Gambar 13. Gambar hasil klasifikasi

Gambar ini menunjukkan bagaimana model berhasil memprediksi masing-masing kelas.

5. KESIMPULAN DAN SARAN

Dari penelitian yang telah dilakukan uji coba mendapatkan hasil arsitektur terbaik dalam melakukan klasifikasi pneumonia dengan menggunakan convolutional neural network model arsitektur ResNet50. Dari penelitian ini juga dapat disimpulkan sistem berjalan dengan baik, pada hasil penelitihan data train di dapat akurasi sebesar 95.43%, sedangkan tahap pelatihan data test mendapatkan akurasi sebesar 92.25%. tingkat akurasi ini sudah cukup baik dan layak digunakan sebagai rujuakan

dalam membangun sebuah aplikasi pengenalan penyakit pneumonia secara umum.

DAFTAR PUSTAKA

- [1] D. W. Andriani, A. Hadi Endaryanto, D. P. Priasmoro, and A. Abdullah, "J u r n a l K e p e r a w a t a n M u h a m m a d i y a h Pengaruh Latihan Jalan 6 Menit Terhadap Tingkat Kebugaran Pasien Pneumonia Ringan Dan Sedang Di RS Husada Utama Surabaya," *J. Keperawatan Muhammadiyah*, vol. 7, no. 1, p. 2022, 2022.
- [2] F. N. Utami, "Kontribusi Faktor Lingkungan dan Perilaku terhadap Kejadian Penyakit Pneumonia Balita," *Higeia J. Public Heal. Res. Dev.*, vol. 4, no. 2, pp. 437–447, 2020, [Online]. Available: http://journal.unnes.ac.id/sju/index.php/higeia
- [3] Perhimpunan Dokter Paru Indonesia, "Pneumonia: Pedoman Diagnosis dan Tata Laksana Medis," *Ikat. Dr. Indones.*, no. 19, pp. 19–22, 2020.
- [4] D. Nurhamzah, I. W. Sariyanto, N. Luh, and G. Pivin, "Identifikasi Pneumonia pada Citra Rontgen Paru-paru Menggunakan Convolutional Neural Network," vol. 1, no. 3, pp. 72–77, 2024.
- [5] P. Pneumonia and B. Citra, "Pengembangan artificial intelligence untuk deteksi penyakit pneumonia berdasarkan citra x-ray," pp. 39–54, 2022.
- [6] J. Algoritme et al., "Implementasi Metode Convolutional Neural Network Menggunakan Arsitektur LeNet-5 untuk Pengenalan Doodle," vol. 1, no. 1, 2020.
- [7] D. P. Andika, N. Wiliani, U. Pancasila, K. Warna, and P. Citra, "IMPLEMENTASI CONVOLUTIONAL NEURAL NETWORK UNTUK IMPLEMENTATION OF CONVOLUTIONAL NEURAL NETWORKS FOR STRAW," vol. 09, no. 2, pp. 1–6, 2024, doi: 10.47007/komp.v7i01.xxxxx.
- [8] H. D. Hekmatyar, W. A. Saputra, and C. Ramdani, "Klasifikasi Pneumonia Dengan Deep Learning Faster Region Convolutional Neural Network Arsitektur VGG16 dan ResNet50," *InComTech J. Telekomun. dan Komput.*, vol. 12, no. 3, p. 186, 2022, doi: 10.22441/incomtech.v12i3.15112.
- [9] R. A. Wati, H. Irsyad, and M. E. A. R. Rivan, "Klasifikasi Pneumonia Menggunakan Metode Support Vector Machine," *J. Algoritm.*, vol. 1, no. 1, pp. 21–32, 2020, [Online]. Available: http://download.garuda.kemdikbud.go.id/article. php?article=2652619&val=24585&title=KLASI FIKASI PNEUMONIA MENGGUNAKAN METODE SUPPORT VECTOR MACHINE
- [10] C. R. Sihombing, I. Dewa, and A. Eka, "Pengenalan Anatomi Paru-Paru Pada Tubuh Manusia Berbasis Augmented Reality," *J. TISI*, vol. 1, no. 3, pp. 128–143, 2018.
- [11] A. W. Wasid and N. M. Soleh Ridwan,

- "Pengukuran Volume Paru-Paru Berbasis Mikrokontroler Arduino Dengan Memanfaatkan Sensor Mpx5700Dp," *J. Inform. dan Komputasi Media Bahasan, Anal. dan Apl.*, vol. 15, no. 01, pp. 16–24, 2021, doi: 10.56956/jiki.v15i01.88.
- [12] dr. F. R. Makarim, "Paru paru." [Online]. Available: https://www.halodoc.com/kesehatan/paru-paru?srsltid=AfmBOor8pc1JWop9Anb3HDzbHoWV7IkLGLuoX6JSWxSPX1_DVsPX8dor
- [13] A. A. Adiwijaya *et al.*, "Peningkatan Citra Untuk Klasifikasi Gangguan Paru-Paru Menggunakan Deep Learning," vol. 10, no. 3, pp. 830–837, 2024.
- [14] Haana Udtari Anjani, Vitriani Vitriani, and Mulya Hastuti, "Pemanfaatan Media Google Colaboratory Pada Mata Pelajaran Informatika di SMA Negeri 5 Pekanbaru," *SOKO GURU J. Ilmu Pendidik.*, vol. 4, no. 1, pp. 101–108, 2024, doi: 10.55606/sokoguru.v4i1.3613.
- [15] G. I. E. Soen, M. Marlina, and R. Renny, "Implementasi Cloud Computing dengan Google Colaboratory pada Aplikasi Pengolah Data Zoom Participants," *JITU J. Inform. Technol. Commun.*, vol. 6, no. 1, pp. 24–30, 2022, doi: 10.36596/jitu.v6i1.781.
- [16] P. Sarjana, D. T. Biomedik, F. Teknologi, E. Dan, and I. Cerdas, "DETEKSI PNEUMONIA PADA ANAK-ANAK DARI CITRA X-RAY BERBASIS CONVOLUTIONAL NEURAL DETEKSI PNEUMONIA PADA ANAK-ANAK DARI CITRA X-RAY BERBASIS CONVOLUTIONAL NEURAL," 2020.
- [17] J. Nurhakiki, "Studi Kepustakaan: Pengenalan 4 Algoritma Pada Pembelajaran Deep Learning Beserta Implikasinya," no. 1, 2024.
- [18] R. A. D. I. Putra, "Perancangan dan Implementasi Self-Checkout System pada Toko Ritel menggunakan Convolutional Neural Network (CNN)," vol. 11, no. 2, pp. 466–478, 2023.
- [19] A. R. Pratama and A. F. Cobantoro, "KLASIFIKASI CITRA PNEUMONIA MENGGUNAKAN ARSITEKTUR CONVOLUTIONAL NEURAL NETWORK (CNN) PNEUMONIA IMAGE CLASSIFICATI ON USING CONVOLUTINAL NEURAL NETWORK (CNN) ARCHITECTURE," vol. 8, no. 2, pp. 133–144, 2023.
- [20] D. Sarwinda, R. H. Paradisa, A. Bustamam, and P. Anggia, "Deep Learning in Image Classification using Residual Network (ResNet) Variants for Detection of Colorectal Cancer," *Procedia Comput. Sci.*, vol. 179, no. 2019, pp. 423–431, 2021, doi: 10.1016/j.procs.2021.01.025.
- [21] M. F. D. Ryandra, "Perbandingan Arsitektur Resnet-50 dan Inceptionv3 dalam Klasifikasi Covid 19 Berdasarkan Citra X Ray," p. 35, 2022, [Online]. Available:

- https://repositori.uma.ac.id/handle/123456789/17072%0Ahttps://repositori.uma.ac.id/jspui/bitstream/123456789/17072/1/178160047 Muhammad Farhan Dwi Ryandra Fulltext.pdf
- [22] W. Christanto, "Klasifikasi Pneumonia Menggunakan Convolutional Neural Network," *Skripsi*, pp. 233–244, 2018.
- [23] K. Azmi, S. Defit, and S. Sumijan, "Implementasi Convolutional Neural Network (CNN) Untuk Klasifikasi Batik Tanah Liat Sumatera Barat," *J. Unitek*, vol. 16, no. 1, pp. 28–40, 2023, doi: 10.52072/unitek.v16i1.504.
- [24] M. Sholawati, K. Auliasari, and F. Ariwibisono,

- "Pengembangan Aplikasi Pengenalan Bahasa Isyarat Abjad Sibi Menggunakan Metode Convolutional Neural Network (Cnn)," *JATI (Jurnal Mhs. Tek. Inform.*, vol. 6, no. 1, pp. 134–144, 2022, doi: 10.36040/jati.v6i1.4507.
- [25] Kade Bramasta Vikana Putra, I Putu Agung Bayupati, and Dewa Made Sri Arsa, "Klasifikasi Citra Daging Menggunakan Deep Learning dengan Optimisasi Hard Voting," *J. RESTI (Rekayasa Sist. dan Teknol. Informasi)*, vol. 5, no. 4, pp. 656–662, 2021, doi: 10.29207/resti.v5i4.3247.